

رفتار غیرخطی سازه‌های مرکب تقویت شده با الیاف تحت بارگذاری

سیکلی

قسمت اول: مطالعات آزمایشگاهی

سید محسن محسنی‌شکیب^۱

دانشگاه جامع امام حسین^(ع)

(تاریخ دریافت: ۱۳۹۲/۷/۱۹؛ تاریخ پذیرش: ۱۳۹۲/۷/۲)

چکیده

در این مقاله، رفتار برشی صفحات مرکب تقویت شده یک‌جهته از جنس شیشه/اپوکسی مورد مطالعه قرار گرفته است. اطلاعات تجربی مواد در بارگذاری‌های شامل بارگذاری، باربرداری، بارگذاری در جهت عکس، باربرداری از حالت بارگذاری عکس و درنهایت بارگذاری مجدد دارای ASTM D 4255/D M 4255 می‌باشد. در این مطالعه، از فیکسچر برشی ریلی سیکلی که مدل اصلاح شده فیکسچر سه‌ریلی استاندارد ۴۲۵۵ می‌باشد، استفاده شده است. بعضی از آزمایشات تحت بار خستگی با سیکل کم مورد آزمایش قرار گرفتند. نتایج برش غیرخطی و سطح خراصی در این آزمایشات قابل توجه می‌باشد. در قسمت دوم مقاله، یک مدل جهت پیشگویی رفتار برشی مواد مرکب در هر قسمت از بارگذاری سیکلی از ابتدا تا مرحله شکست، ارائه شده است. مدل ارائه شده با نتایج تست موردن مقایسه قرار گرفته است. تطابق بسیار نزدیک بین تست و مدل در تمامی بخش‌ها مشاهده می‌گردد.

واژه‌های کلیدی: مواد مرکب، برش غیرخطی، فیکسچر سه‌ریلی، بارگذاری سیکلی

Shear Nonlinearity Behaviour of Fibrous Composites under Cyclic Loading

Part I: Experimental Investigation

S.M. MohseniShakib

Imam Hossein University

(Received: 9/May/2013; Accepted: 24/September/2013)

ABSTRACT

This paper presents an experimental investigation of the shear behaviour of UD fibre glass epoxy under cyclic loading. Experimental data of such materials under loading cycles, involving loading, unloading, reversed loading, unloading from reversed loading and reloading, are essential. Cyclic rail shear fixture (CRSF) as a modified version of ASTM D 4255/D 4255 M fixture has been used in this study. Some specimens tested under low cycle fatigue loading. The results of nonlinearity and level of damage in these specimens are considerable. In part II, a model applies to any phase of the cyclic loading up to failure. The model has been compared with test results. Excellent agreements between the prediction and experimental results have been observed in all respects.

Keywords: Fibrous Composites, Shear Non-Linearity, Three Rail Shear Fixture, Cyclic Loading

۱- مقدمه

سه‌ریلی، می‌توان دیاگرام تنش برشی- کرنش برشی مواد مرکب یک‌جهته را در بارگذاری به‌دست آورد. در مطالعات حاضر برای دستیابی به مشخصات برشی این مواد در سیکل کامل بارگذاری و در تمام محدوده تنش- کرنش تا رسیدن به مرحله شکست، از فیکسچر برشیریلی سیکلی^۱ استفاده شده که توسط مؤلف این مقاله طراحی شده است [۱۶].

در برخی از مقالات، رفتار مواد مرکب با بستر پلیمری تحت بار خستگی با سیکل کم^۱ مورد مطالعه قرار گرفته است. بسیاری از این مطالعات روی جهت الیاف متتمرکز شده که برای مثال رفتار خستگی برای ماده مرکب شیشه/اپوکسی یک‌جهته تحت نیروی کششی در راستای الیاف مورد مطالعه قرار گرفته است [۱۷]. همچنین خرش^۲، رهایش^۳ و رفتار ویسکوالاستیک-پلاستیک مواد مرکب پلیمری با الیاف کوتاه شیشه تحت بار خستگی با سیکل کم مورد مطالعه قرار گرفته است [۱۸]. با بررسی نتایج تحقیقات و مطالعات منتشر شده، اطلاعات قابل توجهی در محدوده برشی مواد مرکب یک‌جهته مشاهده نمی‌شود.

در این مقاله، رفتار برشی مواد مرکب یک‌جهته از جنس شیشه/اپوکسی شامل منحنی تنش برشی-کرنش برشی، رفتار ویسکوالاستیک-پلاستیک، پاسخ به بارگذاری‌های سیکلی و در نهایت رفتار خستگی با سیکل کم و با استفاده از فیکسچر اصلاح شده مورد مطالعه قرار گرفته است.

۲- آماده سازی انجام تست

تست برشی نیاز به انتخاب روش استاندارد مبتنی بر رفتار سازه موردنظر دارد. استانداردها چندین روش را برای مواد مرکب ارائه می‌نمایند. تحقیقات دیگری مبتنی بر استاندارد و توسعه آن در بارگذاری‌های سیکلی ارائه شده است.

۳- مشخصات فیکسچر

فیکسچر برشیریلی سیکلی (CRSF) [۱۶] می‌تواند رفتار برشی داخل صفحه مواد مرکب را در محدوده بارهای سیکلی شامل بارگذاری، باربرداری، بارگذاری در جهت عکس، باربرداری از بارگذاری در جهت عکس و در نهایت بارگذاری، باربرداری، بارگذاری در جهت عکس و در مجدد را مورد تست قرار داده و مشخصات اطلاعات برشی

مواد مرکب تقویت شده با الیاف به صورت وسیع در سازه‌های مختلف مخصوصاً در سازه‌های هواضا و سازه‌هایی که لازم است از کمترین وزن برخوردار باشند، مورد استفاده قرار می‌گیرند. استفاده از ظرفیت نهایی مواد مخصوصاً در سازه‌هایی که تحت بارگذاری نهایی مورد طراحی قرار می‌گیرند ایجاب می‌نماید که بررسی‌ها در محدوده‌های الاستیک غیرخطی یا پلاستیک انجام گیرد. در طراحی سازه‌های مرکب که رزین تأثیرگذار باشد، لازم است که رفتار غیرخطی آن مورد توجه قرار گیرد. همچنین دستیابی به رفتار و مشخصات طراحی این مواد در سازه‌هایی که تحت اعمال بار سیکلی قرار می‌گیرند از اهمیت بیشتری برخوردار می‌باشد. در بعضی از مطالعات، فرض الاستیک بودن بدون توجه به رفتار واقعی مواد مورد استفاده قرار می‌گیرد [۱].

با بررسی مقالات منتشر شده در خصوص مطالعه و تحقیق روی تنش‌ها و کرنش‌های برشی مواد مرکب پلیمری، مشاهده می‌شود که بسیاری از نتایج ارائه شده در این مقالات صرفاً در محدوده بارگذاری عادی حاصل شده [۲-۶] و تعداد کمی نیز به فاز باربرداری پرداخته‌اند [۷-۱۱]. نتایج تست ارائه شده در برخی مطالعات، کرنش پسماند قابل توجهی را نشان می‌دهد [۱۲]. کرنش پس‌ماند حاصل به‌طورکلی شامل دو بخش برگشت‌پذیر و دائمی می‌باشد. قسمت برگشت‌پذیر عمدتاً نشان‌دهنده رفتار ویسکوالاستیک غیرخطی بوده در صورتی که بخش ماندگار یا دائمی کرنش پس‌ماند متأثر از مواردی مثل پلاستیسیته و خرابی می‌باشد.

ارائه مدل‌های تئوری جهت پیش‌بینی رفتار واقعی مواد مرکب تحت برش صفحه‌ای و نیز فرموله کردن مدل، مستلزم دانستن رفتار واقعی این مواد در تمام محدوده‌های تنش-کرنش از جمله بارگذاری، باربرداری، بارگذاری در جهت عکس، باربرداری از حالت بارگذاری در جهت عکس و در نهایت بارگذاری مجدد از کرنش اولیه تا کرنش شکست می‌باشد. برای رسیدن به این اطلاعات نیاز به تکنیک‌های مناسب آزمایش در این زمینه می‌باشد. برخی از این روش‌ها عبارتست از: پیچش خالص استوانه، کشش خارج از محور و روش دوریلی که یا هزینه بالایی را دربر می‌گیرند و یا دقت کمی دارند. از روش‌های قابل قبول و مطلوب، روش استاندارد سه‌ریلی [۱۵] می‌باشد که تقریباً اعمال برش خالص روی نمونه می‌نماید. در این روش با اعمال فشار روی فیکسچر

1- Cyclic Rail Shear Fixture (CRSF)

2- Low-cycle Fatigue (LCF)

3- Creep

4- Relaxation

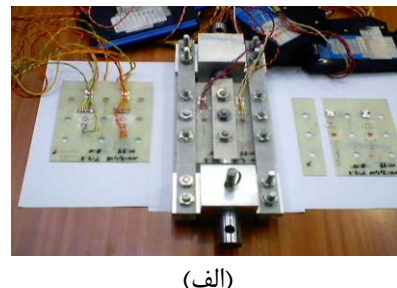
درجه سانتی‌گراد عمل آوری شده‌اند. درصد الیاف نمونه‌ها حدود ۵۰ درصد می‌باشد. نحوه محاسبه مشخصه‌های مکانیکی این ماده شامل مدول الاستیسیته در جهات اصلی ۱ و ۲، ضرائب پوآسون ۰.۷۲۱ و ۰.۷۱۲، مقاومت‌های کششی و فشاری X_C, X_T, Y_C و Y_T در مرجع [۲۱] ارائه شده است.

برنامه‌ریزی تست جهت محاسبات مشخصه‌های برشی انجام و نحوه محاسبه دیاگرام‌های تنش برشی-کرنش برشی و تأثیر سرعت بارگذاری با استفاده از ۵ نمونه در [۲۱] ارائه شده است. در مقاله حاضر به آزمایشات سیکلی با استفاده از ۱۱ نمونه شیشه/اپوکسی با شاخصه‌های C1 تا C11 به شرح مشخصات ارائه شده در جدول ۱ پرداخته شده است. در این جدول CL بیانگر بارگذاری سیکلی، $CL+Cr$ بارگذاری سیکلی به همراه خوش و $CL+Re$ بارگذاری سیکلی به همراه رهایش می‌باشند. نمونه‌های C6 تا C1 صرفاً تحت بارگذاری سیکلی می‌باشند. نمونه‌های C1 تا C5 با سرعت‌های مختلف بارگذاری قرار گرفته‌اند. در نمونه‌های C8 و C7 علاوه بر اعمال بارگذاری سیکلی، در چند بخش از آزمایش با ثابت نگهداشتن بار، خوش در نمونه‌ها حاصل شده است. در نمونه‌های C9 و C10 نیز علاوه بر اعمال بارگذاری سیکلی، با ثابت نگهداشتن جابه‌جایی فک‌های دستگاه تست یونیورسال، رهایی از تنش در نمونه ایجاد شد. رفتار این ماده مرکب تحت اعمال خستگی با سیکل کم در نمونه C11 نمایش داده شده است. نتایج این تست در ارائه مدل مناسب که در بخش دوم این مقاله ارائه شده است، راه‌گشا بوده است. نحوه بارگذاری سیکلی برای نمونه‌های C1 تا C11 در جدول ۲ ارائه شده است.

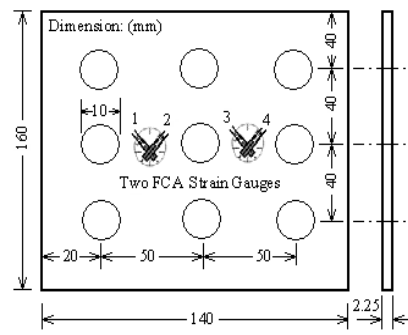
جدول (۱): مشخصات نمونه‌ها.

نوع بارگذاری	زمان تقریبی دقیقه	سرعت بارگذاری میلی‌متر/دقیقه	ضخامت نمونه میلی‌متر	شاخص نمونه
CL	۱۰	۱/۵	۲/۲۰	C1
CL	۶۵	۱/۵	۲/۲۰	C2
CL	۴۵	۰/۵	۲/۱۵	C3
CL	۹۰	۰/۵	۲/۱۵	C4
CL	۲۰	۰/۵	۲/۲۵	C5
CL	۴۲۵	۰/۱	۲/۳۰	C6
$CL+Cr$	۱۰۰	۰/۵	۲/۳۰	C7
$CL+Cr$	۱۴۵	۰/۵	۲/۳۵	C8
$CL+Re$	۷۰	۰/۵	۲/۲۰	C9
$CL+Re$	۱۰۰	۰/۵	۲/۲۵	C10
LCF	۱۵۰۰	۲	۲.۴۰	C11

غیرخطی متأثر از رفتار ویسکوالاستیک-پلاستیک و خرابی را ارائه نماید. اطلاعات مرتبط با این فیکسچر که نمونه اصلاح شده فیکسچر استاندارد مرجع [۱۵] می‌باشد شامل نقشه‌های اجرایی ساخت، نمونه‌سازی، سوراخ‌کاری نمونه‌ها و اطلاعات دیگر را می‌توان در مقالات [۱۵-۱۶] مورد مطالعه قرار داد. شکل ۱، فیکسچر (CRSF) را به همراه نمونه‌های قبل و بعد از آزمایش، ابعاد نمونه و محل نصب کرنش سنج‌ها روی نمونه را نشان می‌دهد. نیاز به ثبت اطلاعات تا مرحله شکست ایجاب نمود تا از کرنش سنج‌های غیرخطی FCA که قابلیت ثبت کرنش‌های بالا را دارند، استفاده گردد.



(الف)



(ب)

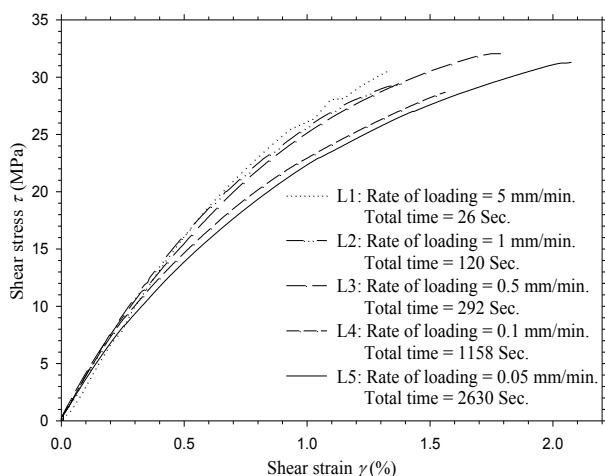
شکل (۱): (الف) فیکسچر برشی ریلی سیکلی، (ب) ابعاد نمونه و محل نصب کرنش سنج‌ها روی نمونه.

۲- مشخصات نمونه‌ها

نمونه‌هایی که در این تحقیق مورد مطالعه قرار گرفته است از الیاف شیشه یک جهتی UE250 از شرکت SP-System [۱۹] و آگوسته‌سازی با رزین آردیت LY5052 با سخت‌کننده HY5052 از شرکت پلیمری Ciba [۲۰] مورد استفاده قرار گرفته است. روش دستی^۱ به همراه استفاده از کیسه خلاء^۲ در ساخت نمونه‌ها انتخاب شده است. در ساخت نمونه‌ها از ۱۲ لایه یک جهتی شیشه/اپوکسی با زاویه صفر درجه استفاده و نمونه‌ها به مدت ۱۵ ساعت با درجه حرارت ۶۰

1- Hand Lay-up
2- Vacuum Bag

جدول (۲): نحوه بارگذاری سیکلی.



شکل (۲): منحنی‌های تنش برشی-کرنش برشی شیشه‌ای اپوکسی با نرخ‌های متفاوت کرنشی [۲۱].

۱-۳- تست‌های سیکلی

نمونه‌های مختلف جهت بررسی رفتار مواد مرکب تحت بارهای سیکلی نرمال و نیز اعمال شرائط خوش و رهایی در نظر گرفته شده است.

۱-۱-۳- تست‌های نرمال سیکلی

۶ نمونه C1 تا C6 جهت مطالعه منحنی‌های نرمال سیکلی از انتخاب شده‌اند. اطلاعات مرتبط با این نمونه‌ها در جدول ۱ ارائه شد.

نمونه‌های C1 و C2 در سرعت بارگذاری ۱.۵mm/min. بارگذاری شده‌اند. با درنظرگرفتن ضخامت نمونه‌ها و فرض توزیع یکنواخت روی سطح مقطع برشی نمونه‌ها، اطلاعات برداشت شده با استفاده از نیروسنجه و کرنش‌سنج‌های مربوطه به صورت منحنی‌های C1 و C2 در شکل‌های ۴ و ۳ ارائه شده است.

نمونه C1 در تنش ۲۰/۶Mpa گسیخته شد. همان‌طور که در شکل ۲ ملاحظه می‌شود، تنش شکست این ماده حدود ۳۰ Mpa می‌باشد و از این‌رو شکست زودهنگام نمونه C1 می‌تواند به علت محکمنشدن نمونه در فیکسچر و در نتیجه تمرکز تنش روی بدنه حفره‌های نمونه باشد.

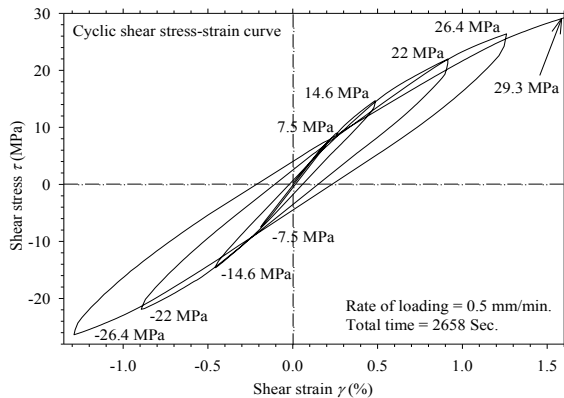
شاخص نمونه	مقادیر بار (کیلونیوتن)
C1	0 → 5 → -5 → 10 → -10 → 15 → -15
C2	0 → 5 → -5 → 10 → -10 → 18 → -18 → 20 → -20 → 21 → -21 → 22 → -22
C3	0 → 5 → -5 → 10 → -10 → 15 → -15 → 18 → -18 → 20
C4	0 → 5 → -5 → 10 → -10 → 15 → -15 → 17 → -17 → 18 → -17/5 → 19 → -18 → 20
C5	0 → 5 → -5 → 10 → -10 → 15
C6	0 → 5 → -5 → 10 → -10 → 15 → -15 → 17 → -17 → 18 → -18 → 19 → -18/5 → 20.5 → -19 → 21/5 → 15/5 → 22 → 15/5 → 23/5
C7	0 → 5 → -5 → 10 → -10 → 15 (22 min.) → -15 → 17 (1 min.) → -17 → 18 → -18 → 19 → -18.5 → 20
C8	0 → 5 → -5 → 10 → -10 → 15 (25 min.) → -15 (22 min.) → 17 → -17 → 18 → -18 → 19 → -19 → 20 → -20 → 23
C9	0 → 5 → -5 → 10 → -10 → 15 (22 min.) → 15 → 18 → -18
C10	0 → 5 → -5 → 10 → -10 → 15 (22 min.) - 15 (15 min.) 17 → -17 → 18 → -18 → 18/5
C11	[10 → -10] (100 Cycles) → [12 → -12] (20 Cycles) → [14 → -14] (10 Cycles) → [16 → -16] (10 Cycles) → [18 → -18] (3 Cycles)

۳- نتایج آزمایشات

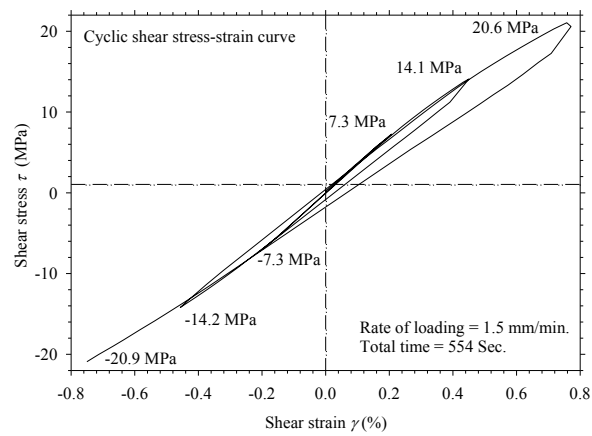
شکل ۲، منحنی‌های بارگذاری معمول τ - γ از ماده حاضر با سرعت‌های متفاوت که بیانگر ویسکوسمیتیه قابل توجهی می‌باشد را نشان می‌دهد [۲۱]. سرعت بارگذاری در نمونه‌های L4، L3، L2، L1 به ترتیب ۱۰۰، ۲۰، ۲ و ۰.۵mm/min. نمونه L5 بوده و سرعت بارگذاری این نمونه برابر باشد.

منحنی‌ها نشان می‌دهند که بعد از ۲ تا ۳ درصد کرنش برشی، منحنی‌ها از یکدیگر فاصله می‌گیرند. برای مثال در تنش برشی ۰.۲Mpa روی نمونه L5 نمونه‌های L1، L2، L3، L4 و L6 به ترتیب ۲۱، ۲۰، ۱۶، ۶ و ۲ درصد کرنش بیشتری را نشان می‌دهند که بیانگر حالت ویسکوسمیتیه این ماده در برش می‌باشد.

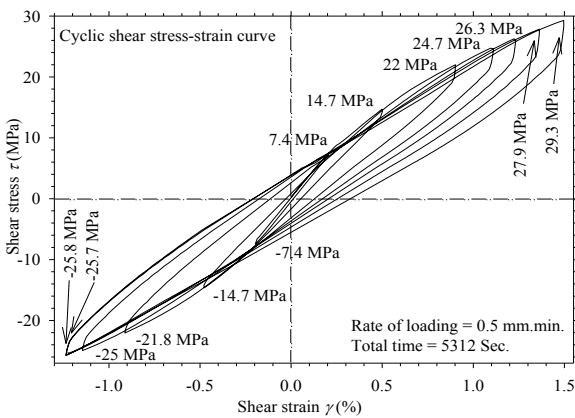
جهت نمایش قابلیت داده‌برداری در تست‌های سیکلی تعریف شده، با استفاده از فیکسچر برشی ریلی سیکلی، دو سیکل کوچک در انتهای تست نمونه C6 و قبل از شکست نمونه اعمال شد که در شکل ۸ مشاهده می‌شود.



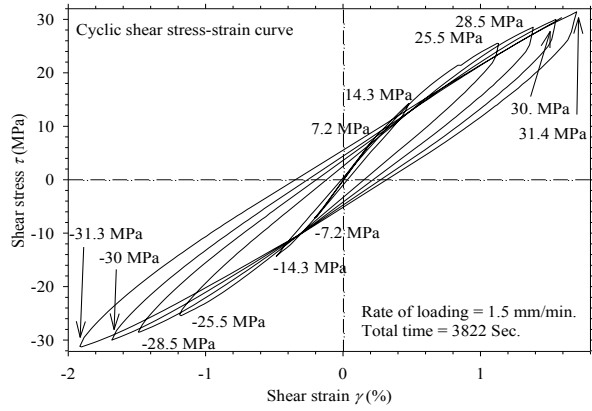
شکل (۵): منحنی سیکلی τ - γ نمونه C3



شکل (۳): منحنی سیکلی τ - γ نمونه C1

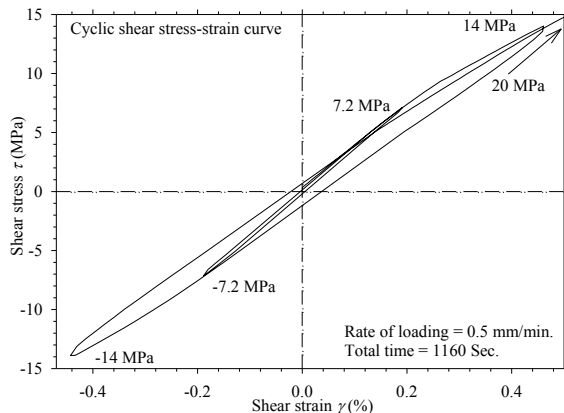


شکل (۶): منحنی سیکلی τ - γ نمونه C4



شکل (۴): منحنی سیکلی τ - γ نمونه C2

تغییر جهت بارگذاری از حالت باربرداری به بارگذاری در جهت عکس و یا از باربرداری در جهت عکس به بارگذاری مجدد، ایجاد پرش در منحنی‌های τ - γ می‌نماید که متأثر از جایه‌جایی آزاد فیکسچر به علت تولرانس‌های نصب به دستگاه تست یونیورسال می‌باشد. منحنی‌های τ - γ ارائه شده در این مقاله، با حذف اثرات فوق در این محدوده (± 0 MPa) حاصل شده است.



شکل (۷): منحنی سیکلی τ - γ نمونه C5

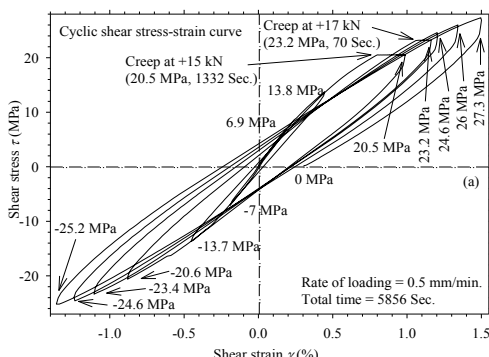
نتایج حاصل از بارگذاری سیکلیروی سه نمونه C3، C4 و C5 با سرعت بارگذاری mm/min. 0.5 در شکل‌های ۵ تا ۷ ارائه شده است. نمونه C5 نیز همانند نمونه C1 قبل از رسیدن به مقاومت ماده گسیخته شد. نمونه C6 در سرعت بارگذاری بسیار کم mm/min. به مدت تقریبی ۷ ساعت مورد آزمایش قرار گرفت. نتایج حاصل از این آزمایش در شکل ۸ ارائه شده است.

۲-۱-۳- تأثیرات ویسکوالاستیک-پلاستیک روی

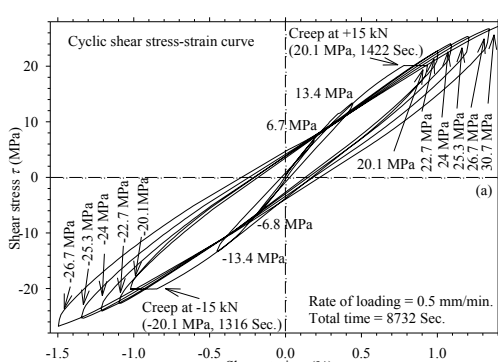
تست‌های سیکلی

دو نمونه C7 و C8 برای نمایش تأثیرات خزش روی منحنی‌های $\gamma-\tau$ انتخاب شدند. نتایج آزمایش این دو نمونه با سرعت بارگذاری 0.5 mm/min . در شکل‌های ۱۲ و ۱۱ ارائه شده است. در هر دو آزمایش دستگاه تست جهت ثابت نگهداشت بار در مقدار 15 kN برنامه‌ریزی شد. این بار به مدت ۲۲ دقیقه روی نمونه C7 و به مدت ۲۵ دقیقه روی نمونه C8 ثابت نگه داشته شد.

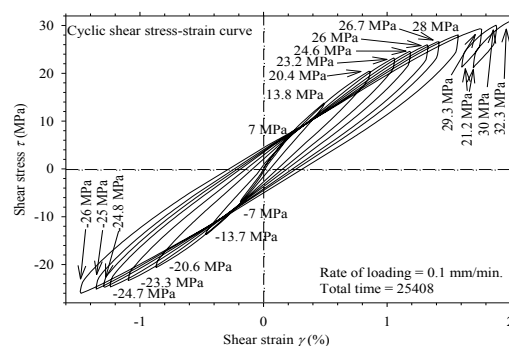
بعد از این مرحله و جهت نشان دادن تأثیرات خزش در دقایق اولیه تست، در سیکل بعدی بارگذاری نمونه C7 به مدت تقریبی یک دقیقه بار $+17 \text{ kN}$ روی نمونه ثابت نگه داشته شد. سپس این نمونه تحت چند سیکل بارگذاری دیگر تا نقطه شکست قرار گرفت. سرعت بارگذاری در تمامی سیکل‌های بارگذاری همان 0.5 mm/min . ثابت اعمال گردید. نمونه C8 بعد از باربرداری از $+15 \text{ kN}$ و بارگذاری درجهت عکس و رسیدن به مقدار -15 kN ، این بار به مدت تقریبی ۲۲ دقیقه روی نمونه ثابت نگه داشته شد و سپس تحت ۴ سیکل بارگذاری دیگر تا نقطه شکست قرار گرفت.



شکل (۱۱): منحنی سیکلی $\gamma-\tau$ نمونه C7.

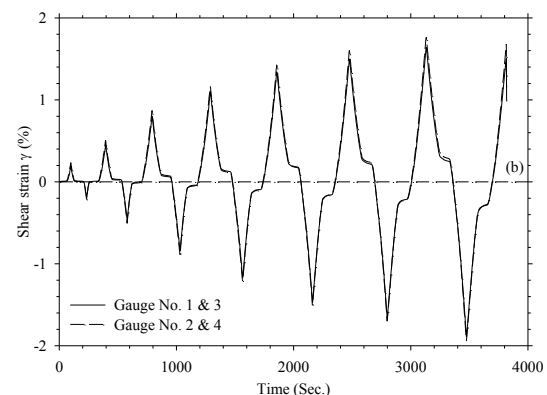


شکل (۱۲): منحنی سیکلی $\gamma-\tau$ نمونه C8.

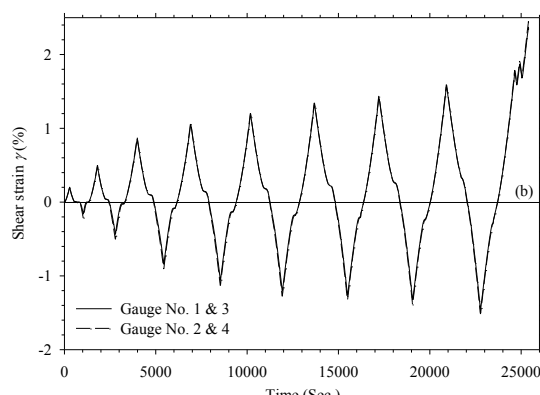


شکل (۸): منحنی سیکلی $\gamma-\tau$ نمونه C6.

جهت نمایش تغییرات کرنش برشی با زمان، دو نمونه C2 و C6 انتخاب و گراف‌های مربوطه در شکل‌های ۹-۱۰ ارائه شده است. کرنش‌های حاصل از کرنش‌سنج‌های ۴، ۲، ۱ و ۰ (طبق شکل ۱)، بیانگر اعمال خروج از محوریت نیرو روی نمونه‌ها در این تست می‌باشد. همان‌طور که ملاحظه می‌شود، نتایج حاصل از کرنش‌سنج‌های مختلف، تطابق بسیار خوبی را نشان می‌دهند.



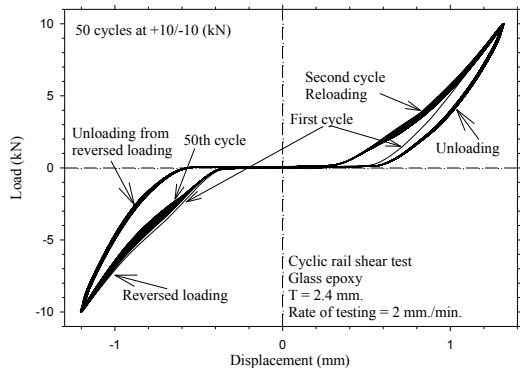
شکل (۹): تغییرات کرنش برشی با زمان در نمونه C2.



شکل (۱۰): تغییرات کرنش برشی با زمان در نمونه C6.

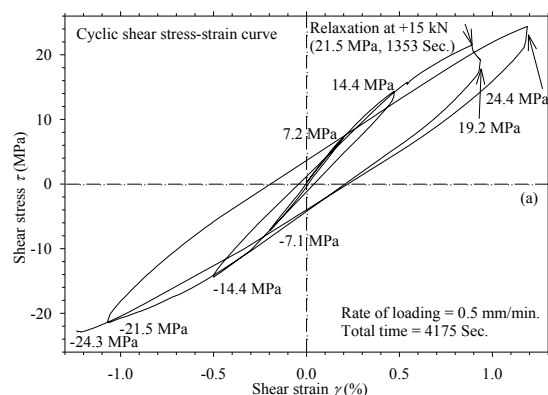
۲-۳- تست خستگی با سیکل کم (LCF)

نمونه C11 جهت مشاهده رفتار برشی مواد مرکب شیشه/پوکسی تحت بارگذاری خستگی با سیکل کم انتخاب گردید. اطلاعات مرتبط با این نمونه در جدول ۱ ارائه شد. با استفاده از نتایج قبلی شامل نتایج بارگذاری یکنواخت (شکل ۲) و نیز نتایج مرتبط با آزمایشات سیکلی روی نمونه‌های C1 تا C10، نیروی نهایی وارد بر نمونه‌ها بین ۱۸KN تا ۲۲KN می‌باشد. بدین منظور در مرحله اول آزمایش خستگی با سیکل کم روی نمونه C11، نیروی سیکلی ± 10 kN (حدود $\pm 50\%$ بار نهایی) انتخاب شد. سرعت بارگذاری در کل طول آزمایش برابر 2 mm/min. بود. گراف‌های نیرو- جابه‌جایی مرتبط با این حالت در شکل ۱۵ ارائه شده است. در روز دوم سیکل مجدد در محدوده $\pm 10 \text{ kN}$ اعمال گردید (شکل ۱۶).

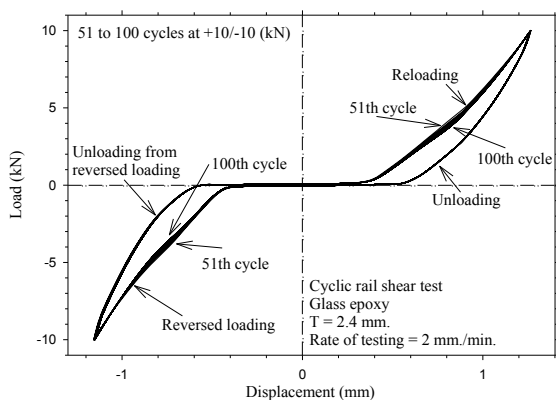


شکل (۱۵): سیکل‌های ۱ تا ۵۰ نمونه C11 در محدوده $\pm 10 \text{ kN}$.

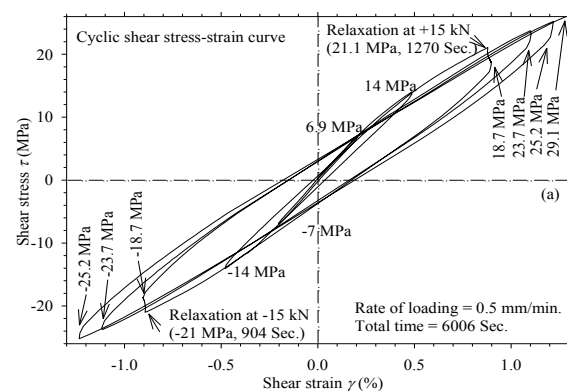
نمونه‌های C9 و C10 جهت تأثیرات تنش رهایی روی منحنی‌های سیکلی γ - τ انتخاب شدند. نتایج آزمایش این دو نمونه با سرعت بارگذاری 0.5 mm/min. در شکل‌های ۱۳ و ۱۴ ارائه شده است. در این آزمایش دستگاه یونیورسال اعمال نیرو به‌گونه‌ای برنامه‌ریزی شد که پس از اعمال نیروی ۱۵KN از جابه‌جایی فک‌های نگهدارنده فیکسچر جلوگیری گردد. بنابراین حدود ۲۰ دقیقه برای نمونه C9 و ۱۵ دقیقه برای نمونه C10 بعد از اعمال نیروی ۱۵KN از جابه‌جایی فک‌ها جلوگیری و تنش رهایی به نمونه‌ها اعمال گردید. بعد از این مرحله، نمونه C9 تحت یک سیل بارگذاری دیگر در نقطه شکست قرار گرفت، درصورتی که در نمونه C10 بعد از این مرحله و تا رسیدن به نیروی ۱۵KN، تنش رهایی به مدت ۱۵ دقیقه با ثابت نگهداشتن جابه‌جایی فک‌ها مجددًا اعمال گردید. درنهایت نمونه C10 پس از اعمال دو سیکل بارگذاری دیگر به نقطه شکست رسید.



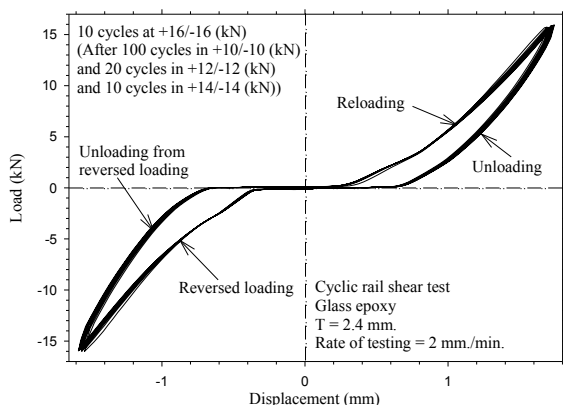
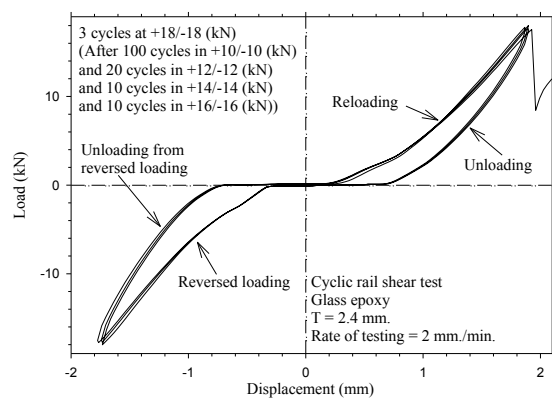
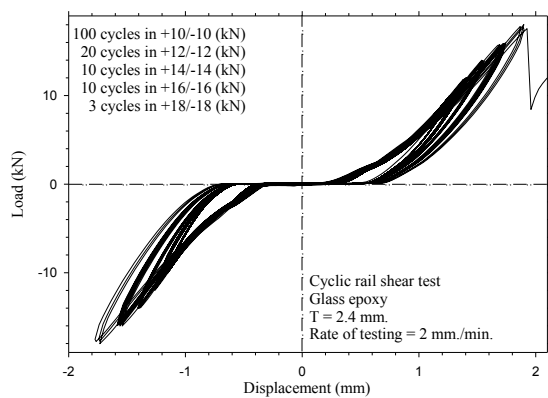
شکل (۱۳): منحنی سیکلی γ - τ نمونه C9.



شکل (۱۶): سیکل‌های ۵۱ تا ۱۰۰ نمونه C11 در محدوده $\pm 10 \text{ kN}$.



شکل (۱۴): منحنی سیکلی γ - τ نمونه C10.

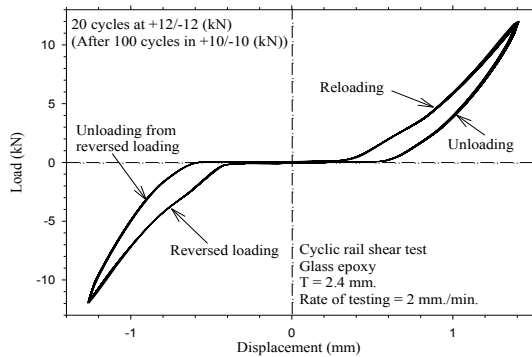
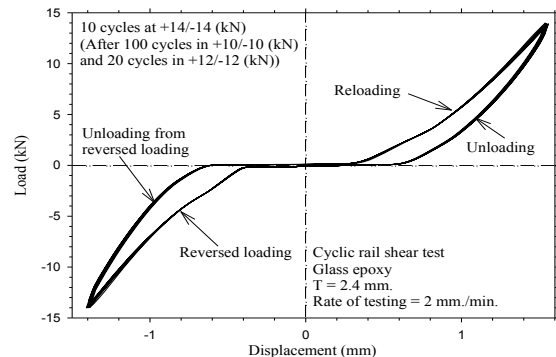
شکل (۱۸): ۱۰ سیکل در محدوده $\pm 14\text{kN}$ روی نمونه C11.شکل (۱۹): ۵ سیکل در محدوده $\pm 16\text{kN}$ روی نمونه C11شکل (۲۰): ۶ سیکل در محدوده $\pm 18\text{kN}$ روی نمونه C11

شکل (۲۱): سیکل‌های اعمالی روی نمونه C11 از ابتدا تا شکست.

۴- مقایسه نتایج تست
 مقایسه نتایج تست در دو دسته انجام گرفته است. دسته اول نتایجی که دارای سرعت بارگذاری یکسان هستند و دسته دوم نمونه‌های با سرعت متفاوت بررسی شده‌اند.

بعد از اعمال ۱۰۰ سیکل بارگذاری، دامنه بار به $\pm 12\text{kN}$ در ۲۰ سیکل بارگذاری تغییر و نتایج در شکل ۱۷ نشان داده شده است. سپس دامنه بار به $\pm 14\text{kN}$ در ۱۰ سیکل، $\pm 16\text{kN}$ در ۵ سیکل و $\pm 18\text{kN}$ در ۳ سیکل انجام و در این مرحله شکست در نمونه اتفاق افتاد. نتایج مربوط در شکل‌های ۱۸ تا ۲۰ ارائه شده است. همچنین شکل ۲۱، تمامی منحنی‌های نیرو-جایجاوی مرتبط با نمونه C11 را در یک نمودار نشان می‌دهد. همان‌طور که ملاحظه می‌شود، سخت شوندگی تنش^۱ و یا سخت شوندگی^۲ کرنش در این مواد به‌چشم نمی‌خورد. از این رفتار در ارائه مدل که در بخش دوم این مقاله ارائه شده، استفاده شده است.

این نکته حائز اهمیت است که به علت جایه‌جایی آزاد نمونه از حالت باربرداری به بارگذاری معکوس و از حالت باربرداری از بارگذاری معکوس به بارگذاری مجدد (محدوده‌ای که بار از روی نمونه برداشته می‌شود)، این جایه‌جایی باعث جدایی منحنی‌ها به علت تولرانس‌های نصب فیکسچر به دستگاه یونیورسال در این محدوده شده است.

شکل (۱۷): بیست سیکل در محدوده $\pm 12\text{kN}$ روی نمونه C11

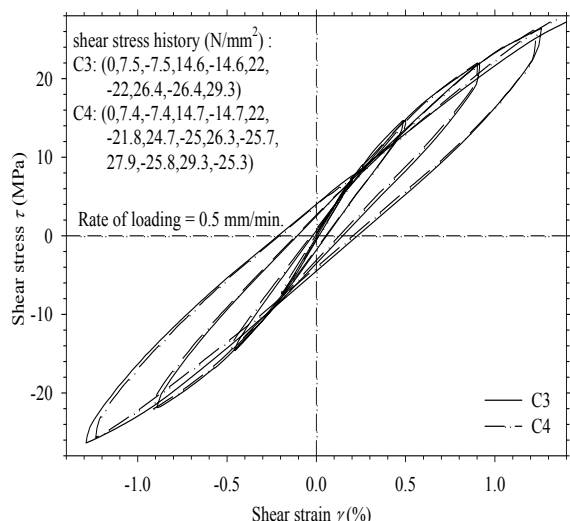
1-Stress Hardening
 2 -Strain Hardening

جهت مقایسه دقیق‌تر نتایج این دو نمونه، مقادیری از سیکل‌های مدل C4 استفاده شده است که با مدل C3 مطابقت دارد و از رسم گراف‌هایی که فقط در یک نمونه اعمال شده است خودداری شده است. لذا مقادیر نظیر عبارتند از: ۰ → -۵ → ۱۰ → -۱۰ → ۱۵ → -۱۵ → ۱۸ → -۱۷ → ۲۰ kN. همان‌طور که در شکل ۲۳ مشاهده می‌شود منحنی‌های $\gamma-\tau$ تطابق بسیارخوبی در تمامی محدوده‌ها تا نقطه شکست را در نمونه‌های C3 و C4 نشان می‌دهند.

۴-۲- مقایسه نتایج تست‌های با سرعت بارگذاری متفاوت

مواد ویسکوالاستیک-پلاستیک تحت سرعت بارگذاری بالا، سختی بیشتری نسبت به سرعت بارگذاری کم از خود نشان می‌دهند. سه نمونه C2، C4 و C6 برای نشان دادن این تفاوت انتخاب شدند.

شکل ۲۴ منحنی‌های $\gamma-\tau$ مرتبط با نمونه‌های C2 و C6 را نشان می‌دهند، سرعت بارگذاری نمونه C2 برابر $1/5\text{ mm/min}$ می‌باشد که ۱۵ برابر نمونه C6 می‌باشد. همان‌طور که ملاحظه می‌شود، در کرنش‌های برابر، نمونه C2 مقاومت بیشتری نسبت به نمونه C6 از خود نشان می‌دهد. به همین ترتیب در شکل ۲۵، نمونه C4 با سرعت $0/5\text{ mm/min}$ و نمونه C6 با سرعت $0/1\text{ mm/min}$. مقایسه قرار گرفته‌اند.



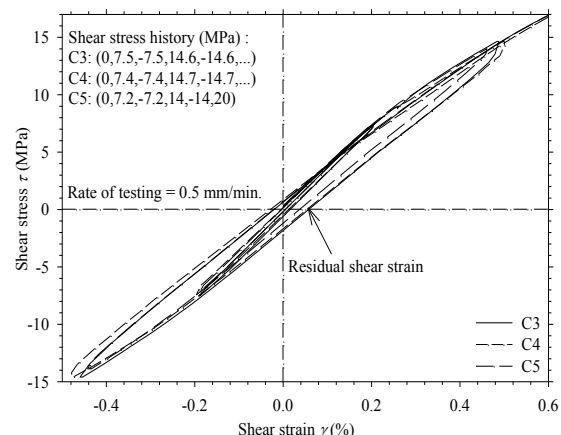
شکل (۲۳): مقایسه منحنی‌های $\gamma-\tau$ نمونه‌های C3 و C4

۴- مقایسه نتایج تست‌های با سرعت بارگذاری یکسان

سرعت بارگذاری در مواد ویسکو الاستیک، یکی از مهم‌ترین پارامترها در مقایسه نتایج تست می‌باشد و بدین‌منظور از نتایج تست نمونه‌های C3، C4 و C5 که دارای سرعت بارگذاری ۰.۵ mm/min. می‌باشد در این قسمت استفاده شده است.

دو سیکل اول بارگذاری این نمونه‌ها عبارتند از: ۰ → -۵ → ۱۰ → -۱۰ → ۱۵ kN.

این بخش از منحنی‌های $\gamma-\tau$ این نمونه‌ها در شکل ۲۲ ارائه شده است. همان‌طور که مشاهده می‌شود، سازگاری بسیار خوبی در این محدوده بین نمونه‌ها به‌چشم می‌خورد. همچنین در بخش اولیه منحنی‌ها می‌توان حالت الاستیک معمول را در نمونه‌ها مشاهده نمود. البته کرنش پسماند کم اولیه نشان داده شده در شکل ۲۲، متأثر از رفتار ویسکو الاستیک می‌باشد که بخش برگشت‌پذیر کرنش پسماند می‌باشد.



شکل (۲۲): مقایسه منحنی‌های $\gamma-\tau$ نمونه‌های C3، C4 و C5

با افزایش مقدار کرنش نمونه، ضمن اینکه مقدار کرنش برگشت‌پذیر متأثر از رفتار ویسکوالاستیک افزایش می‌یابد، کرنش برگشت‌نапذیر متأثر از رفتار ویسکو پلاستیک ماده نیز مقدار گرفته و براساس سطح خرابی در نمونه افزایش می‌یابد. نمونه‌های C3 و C4 جهت مقایسه نتایج تا نقطه شکست در این قسمت انتخاب شدند. سیکل‌های اعمالی روی نمونه C3 عبارتست از: ۰ → ۵ → -۵ → ۱۰ → -۱۰ → ۱۵ → ۰ kN و سیکل‌های اعمالی روی نمونه C4 عبارتست از: ۰ → ۵ → -۵ → ۱۰ → -۱۰ → ۱۷/۵ → ۲۰ → -۱۷/۵ kN.

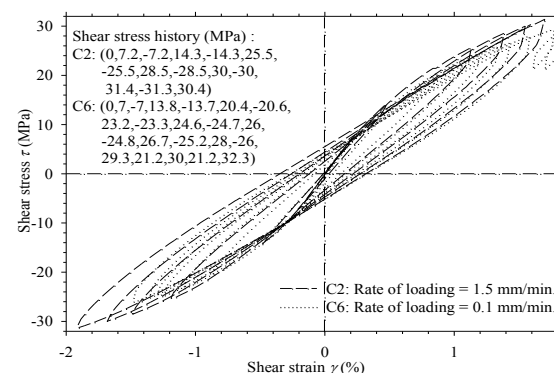
شکست نشان داد. همچنین مقایسه نمونه‌هایی که دارای سرعت بارگذاری متفاوت در بارگذاری داشتند نشان داد که در کرنش‌های برابر، نمونه‌هایی که با سرعت بالاتر بارگذاری می‌شوند، مقاومت بیشتری نسبت به نمونه‌هایی که با سرعت کمتر بارگذاری می‌شوند از خود نشان می‌دهند.

نتایج حاصل در نمونه‌ها به ویژه نمونه C11 در بارگذاری خستگی با سیکل کم اثبات نمود که منحنی‌های τ - γ نسبت به مقدار تنش یا کرنش اعمالی از سیکل‌های ثابتی نسبت به این مقادیر تبعیت می‌کنند. به عبارت دیگر در بارگذاری مجدد منحنی تنش-کرنش از نقطه قبلی عبور نموده و سخت‌شوندگی کرنش و یا تنش در این مواد مشاهده نمی‌شود. با استفاده از این نتایج می‌توان مدل مناسبی ارائه نمود که در بخش دوم این مقاله به آن پرداخته شده است.

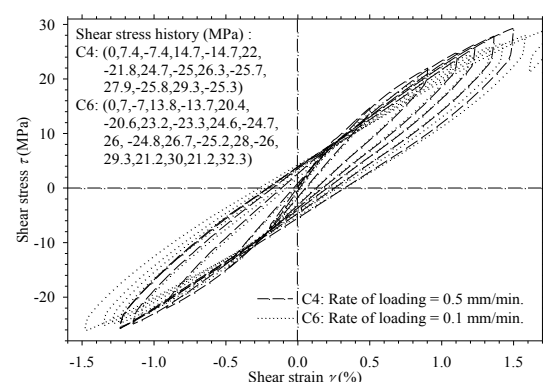
مقایسه نتایج نشان داد که پراکندگی نتایج بسیار کم و سازگاری نمونه‌ها بسیار نزدیک و لذا استفاده از روش تست با فیکسچر برشی ریلی سیکلی که مدل اصلاح شده فیکسچر سه ریلی استاندارد ASTM D 4255/D 4255 M باشد. بسیار مناسب می‌باشد.

۶- مراجع

1. Hahn H.T. and Tsai S.W. "Nonlinear Elastic Behaviour of Unidirectional Composite Laminae", J Compos Mater; Vol. 7, No. 1, pp. 102–108. 1973.
2. Jones R.M. "Mechanics of Composite Materials", 2nd ed. London: Taylor & Francis, 1999.
3. Hinton M.J., Kaddour A.S. and Soden P.D., "Failure Criteria in Fibre Reinforced Polymer Composites", the World Wide Failure Exercise. A Composites Science and Technology Compendium. London, Elsevier, 2004.
4. Lockwood P.A. "Results of the ASTM Round-Robin on the Rail Shear Test for Composites", J Compos Technology and Research, Vol. 3, No.2 pp.83–86, 1981.
5. Basu S., Waas A.M. and Ambur D.R. "Prediction of Progressive Failure in Multidirectional Composite Laminated Panels", International Journal of Solids and Structures Vol. 44, No. 9, pp. 2648–2676, 2007.
6. Liang Y., Wang H. and Gu X. "In-plane Shear Response of Unidirectional Fibre Reinforced and Fabric Reinforced Carbon/Epoxy Composites", Polymer Testing, Vol. 32, No. 3, pp. 594–601, 2013.
7. Ladeveze P. "Inelastic Strain and Damage", In: Talreja R, Editor. Chapter 4 in Damage Mechanics of Composite Materials. London, Elsevier, 1994.
8. Masters, J.E. "Damage Characterization for a Solid Propellant by a Energetic Approach" ASTM STP 1128, pp. 121-133, 1992.



شکل (۲۴): مقایسه منحنی‌های τ - γ نمونه‌های C2 و C6.



شکل (۲۵): مقایسه منحنی‌های τ - γ نمونه‌های C4 و C6.

۵- نتیجه‌گیری

در این مقاله رفتار برشی داخل صفحه ماده مواد مرکب یک‌جهته از جنس شیشه/اپوکسی شامل منحنی تنش برشی-کرنش برشی، رفتار ویسکوالاستیک-پلاستیک، پاسخ به بارگذاری‌های سیکلی و درنهایت رفتار خستگی با سیکل کم و با استفاده از فیکسچر اصلاح شده مورد مطالعه قرار گرفته است.

با تعریف یک سری تست‌های مناسب، رفتار غیرخطی و پارامترهای آنالیز و طراحی در منحنی‌های تنش-کرنش، مقاومت برشی، مدول برشی و رفتار ویسکو-استیک-پلاستیک که در این مواد از اهمیت ویژه برخوردار می‌باشند، ارائه شد. در بارگذاری‌های سیکلی و نیز مطالعه رفتار خستگی با سیکل کم، این پارامترها اهمیت بیشتری داشته که نتایج تست‌های ارائه شده به‌وضوح اطلاعات موردنیاز را در تمام محدوده بارگذاری نشان می‌دهند.

مقایسه منحنی‌های τ - γ از نمونه‌های با سرعت بارگذاری برابر، تطابق بسیار خوبی در تمامی محدوده‌ها را تا نقطه

9. Grediac M., Auslender F. and Pierron F. "Applying the Virtual Fields to Determine the Through-Thickness Moduli of Thick Composite with a Non-Linear Shear Response", Composites Part A, Vol. 32, No. 12, pp. 1713–1725, 2001.
10. Paepegem W.V., De Baere I. and Degrieck J. "Modeling the Nonlinear Shear Stress-Strain Response of Glass Fibre-Reinforced Composites. Part I: Experimental Results", Composites Science and Technology, Vol. 66, No. 10, pp. 1455–1464, 2006.
11. Cai S., Daymond M.R., Holt R.A. and Oliver E.C. "Evolution of Internal Strains in a Two Phase Zirconium Alloy During Cyclic Loading", ActaMaterialia, Vol. 59, No. 13, pp. 5305–5319, 2011.
12. Li, S., S.R. Reid, P.D. Soden and M.J. Hinton "The Nonlinear Structural Response of Laminated Composites", 6th IntConf Deformation and Fracture of Composite, Manchester UK, 4-5 April 2001.
13. Peters ST. "Handbook of Composites", 2nd ed. London: Chapman & Hall, 1998.
14. "Composite Material Handbook: Polymer Matrixcomposite Guidelines for Characterization of Structural Materials", MIL-HDBK-17-1F, Vol. 1, 2002.
15. "American Society for Testing Materials (ASTM). Standard Test Method for In-Plane Shear Properties of Polymer Matrix Composite Materials By the rail Shear Method. Designation: D 4255/D 4255M-01", 2002.
16. MohseniShakib S.M., and Li S. "Modified Three Rail Shear Fixture (ASTM D 4255/D 4255M) and an Experimental Study of Nonlinear In-Plane Shear Behaviour of FRC", Composites Science and Technology, Vol. 69, No. 11, pp. 1854–1866, 2009.
17. Harik V.M., Klinger J.R. and Bogetti T.A. "Low-Cycle Fatigue of Unidirectional Composites: Bi-linear S-N Curves", International Journal of Fatigue, Vol. 24, No. 2, pp. 455–462, 2002.
18. Drozdov A.D. "Cyclic Viscoelastoplasticity and low-Cycle Fatigue of Polymer Composites", International Journal of Solids and Structures, Vol. 48, No.13, pp. 2026–2040, 2011.
19. Structural Polymer Systems (SP) "Advanced Composite Materials", Technical Manual, UT-E250/500 Unidirectional Unitex E Glass
20. Ciba Polymers, "Cold and Warm Curing Laminating System", Araldite LY5052 and HY 5052 Hardener, Ciba 1994.
21. MohseniShakib S.M., "An Investigation of the In-Plane Shear Nonlinearity in Fibrous Composites", PhD Thesis, The University of Manchester Institute of Science and Technology, 2004.